

鳥取大学 工学部 ○正員 鈴木 幸一  
〃 〃 〃 道上 正規

1. はじめに ダム建設などにより上流からの供給土砂が減少した場合に河床低下の軽減および河床勾配の緩和を目的とした河川を横断して設置する床固めに関することは、それがどういふ水理条件のとくに有効に機能を果すのかといふことと床固め自体の安定性といふ二面から検討しておく必要があり、本研究の目的は床固め上下流部の河床変動特性および床固め直下流部の局所洗掘特性の解明にある。

2. 床固め上下流部の河床変動<sup>1)</sup> 道上の導いた河床変動に関する拡散型の方程式<sup>2)</sup>,

$$\frac{\partial Z}{\partial t} = K \frac{\partial^2 Z}{\partial x^2}, \quad K = \frac{2l}{20(1-\eta)} \frac{gF(\eta/\epsilon_0)}{SA} \quad \dots (1)$$

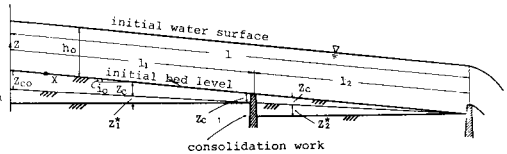


図-1

至図-1に示すように河川上流端にダムを建設し流入砂を0とし、下流端水位が一定になるように制御されてる河川

正則 $l$ の上流ダムサイトを原点( $x=0$ )とした場合の $x=l$ 地点に天端と現河床と一致させた床固め設置したときの床固め上下流部の河床低下問題に適用する。ただし、 $Z$ : 河床高、 $t$ : 時間、 $x$ : 流下方向距離、 $\eta$ : 砂の空隙率、 $\epsilon_0$ : 砂の密度、 $\rho$ : 水の密度、 $S = \rho/\rho - 1$ 、 $g$ : 単位揚流量、 $U$ : 平均流速、 $U_t$ : 摩擦速度、 $A = U/U_t$ 、 $\eta$ : 粗度の関数、下:  $\eta_l/\eta_c$ の関数、 $K$ : 揚流力、 $\eta_c$ : 限界揚流力である。式(1)を解くときの境界条件および初期条件を求めるために実験事実に基づいて次のような仮定を設ける。仮定1) 水路下流端では河床低下が生じない。2) 床固め部( $x=l_1$ )の上下端では、床固め上での限界水深が生じ始める時( $t=t_0$ ) $\Rightarrow$ は上下流の水位は連続的である。河床低下量も上下流で連続的である。3) 床固め上での限界水深が生じると床固め上での水位は低下しなくなり床固め直下流部での河床低下は止まる。4) 上流から給砂がないダム直下流部での河床勾配は砂の限界勾配に等しく、また床固め部での限界水深が生じた後の床固め直下流部の河床勾配は床固め上流部から流入する土砂を掃流するのに必要な勾配となる。1), 2), 床固め上( $x=l_1$ )での限界水深が生じ始める時間までとし、その時の元河床からの河床変動量を $\Delta$ とする。3)は河床が上昇したときを正とする。

(1)  $t \leq t_0$  の場合: この場合、図-1における $l$ を $l_1$ と $l_2$ の2つにわけて考える必要はない。かくしてそれを元河床勾配および砂の限界勾配とすると、境界条件および初期条件は、

$$\frac{\partial Z(x,t)}{\partial x} \Big|_{x=0} = i_0 - i_c, \quad Z(x,t) \Big|_{x=l_1} = 0, \quad Z(x,t) \Big|_{t=t_0} = 0 \quad \dots (2)$$

である。これらの条件で $K$ を一定として式(1)の解を求めると次式(3)が得られる。

$$Z = -(i_0 - i_c) \left[ (l-x) - \frac{2}{l} \sum_{n=0}^{\infty} e^{-K((2n+1)\pi/(2l))^2 t} \cdot \left\{ \frac{2l}{(2n+1)\pi} \right\}^2 \cos \frac{(2n+1)\pi}{2l} x \right] \quad \dots (3)$$

(2)  $t > t_0$  の場合: この場合は、 $l$ を $l_1$ 正間に $l_2$ 正間に2つに分けて考えた必要がある。 $t^* = t - t_0$ 、 $x^* = x - l_1$ と変数変換し、 $t^* = 0$ に対する $l_1$ 正間におよび $l_2$ 正間に初期勾配が近似的に等しいとすれば、 $i_{10} = i_0 - (z_{c0} - z_{c1})/l_1$ および $i_{20} = i_0 - z_{c1}/l_2$ が導かし、 $Z_1^* = Z(x^*) - Z_0$ とおく。ただし、 $Z_0$ および $Z_{c1}$ はそれぞれ $x=0$ および $x=l_1$ における $Z$ の値である。

1)  $0 \leq x \leq l_1$  正間: 式(1)を解く際の境界条件、初期条件および式(1)の解は次式のようにある。

$$\frac{\partial Z_1^*(x,t^*)}{\partial x} \Big|_{x=0} = i_{10} - i_c, \quad Z_1^*(x,t^*) \Big|_{x=l_1} = 0, \quad Z_1^*(x,t^*) \Big|_{t^*=0} = 0 \quad \dots (4)$$

$$Z_1^* = -(i_{10} - i_c) \left[ (l_1 - x) - \frac{2}{l_1} \sum_{n=0}^{\infty} e^{-K((2n+1)\pi/(2l_1))^2 t^*} \cdot \left\{ \frac{2l_1}{(2n+1)\pi} \right\}^2 \cos \frac{(2n+1)\pi}{2l_1} x \right] \quad \dots (5)$$

ii)  $l_1 \leq x \leq l$  正間: 依達式より  $x^* = 0$  の河床勾配は  $x^* = 0$  からこの正間への流入砂量  $g_{sin}$  を表す式で、零勾配  $z_2'(t^*)$  となるから、式(1)の境界条件、初期条件および解は次式のようになる。ただし、 $z_2^* = z(t)$  とおき。  
 $\partial z_2^*(x^*, t^*) / \partial x^* |_{x^*=0} = \lambda_{10} - \lambda'_c(t^*) = f(t^*)$ ,  $z_2^*(x^*, t^*)|_{x^*=l_2} = 0$ ,  $z_2^*(x^*, t^*)|_{t^*=0} = 0$  ..... (6)

$$z_2^* = -\frac{2}{l_2} K \sum_{n=0}^{\infty} \cos \frac{(2n+1)\pi}{2l_2} n x^* \int_0^{l_2} f(\alpha) e^{-K \left( \frac{(2n+1)\pi}{2l_2} \right)^2 (x^* - \alpha)} d\alpha ..... (7)$$

iii)  $z_2^*$  が  $z_c$  に等しい場合:  $z_2^*$  は流砂量式として佐藤吉川・芦田式を用いること、 $z_c' = (1/Rg)^{1/3}$  と  $g_{sin} = (1/Rg)^{2/3}$  と表される。式中の  $g_{sin}$  は、

$$g_{sin} = -(1-\lambda) \int_0^{l_2} \frac{\partial z_2^*}{\partial t^*} dx^* = 4K(1-\lambda)(\lambda_{10}' - z_c') \sum_{n=0}^{\infty} (-1)^n \frac{1}{(2n+1)\pi} e^{-K \left( \frac{(2n+1)\pi}{2l_2} \right)^2 t^*} ..... (8)$$

iv)  $z_2^*$  が  $h_c$  に等しい場合:  $z_2^*$  は底面と下流側で等深水深になつて断面と運動量保存の関係式を用ひよし、  
 $z_{c1}/h_c = \{2R^2(R^2-1)/(R^2+2)+1\}^{1/2} \cdot (3/2R^2)-1$  ..... (9)

v)  $z_2^*$  が  $h_0$  に等しい場合:  $z_2^* = z_{c1} + z_3$  となること、式(3)の  $z_1$  を  $z_3$  とすると  $z_2^* = h_0$  となる。ただし、 $R = 4/\sqrt{g}$ ,  $g$ : 重力加速度、 $h_0$ : 等深水深、 $h_c$ : 限界水深である。

図-2は任意点( $x$ )における河床低下量の時間的変化についでの実験結果と計算結果との関係を示した一例である。

河床波の影響から実験データに大きなばらつきはあるものの概して計算値は実測値の傾向をかなりよく捉えているものと考えられる。

3. 底面が直下流部の局部洗掘 いま、図-3のように

底面が直下流部の局部洗掘状態を模式的に表わし、最大洗掘深を  $Z_{sm}$ 、その生じた位置を底面から  $z_m$  とし、 $\alpha$  とし、洗掘孔の上流側傾斜角  $\alpha$  ( $\approx 10^\circ$ ) を一定とするとき、図-3の記号によつて洗掘孔0.48部の体積

の時間変化とそのへの流入砂量  $g_{sin}$ 、流出砂量  $g_{so}$  との関係は、

$$(1-\lambda) dV/dt = g_{so} - g_{si} ..... (10)$$

と表わすことができる。 $\lambda = 1$ 、 $Z_m = \tan \alpha \cdot L$ 、 $V = Z_{sm}^2 / 2 \tan \alpha$  であり、 $g_{si}$  は

$$g_{si} = -(1-\lambda) \int_0^{l_2} (\partial z / \partial t) dx ..... (11)$$

によつて計算される。ただし、式(11)の  $t$  についてはまだ未確実 (式(3)を)  
 $t > t_c$  の場合は式(6)で計算される。一方、 $g_{so}$  はついて

AB断面の流速係数を  $\phi_s$ 、 $h_m$  を最大洗掘深の位置  $z_m$  の全断面の河床から水面までの深さ、 $-Z_m$  を底面が直下流部で元河床からの河床の全体的な低下量 (野口参照)

とすると、 $g_{so} = \phi_s / \phi_r (h_m + Z_m + Z_{sm})$  であるから、流砂量式と佐藤吉川・芦田式を用ひよし、

$$g_{so} = gF / \phi_s \cdot \{ \phi_s / \phi_r (h_m + Z_m + Z_{sm}) \}^{1/3} ..... (12)$$

となる。式(10)は式(11)か式(12)を代入すると、次式で表わされる  $Z_{sm}$  の時間的変化に関する微分方程式が得られる。

$$\frac{dZ_{sm}}{dt} = \frac{\tan \alpha}{Z_{sm}} \left[ \frac{1}{1-\lambda} \frac{gF}{\phi_s} / \frac{1}{\phi_r} \cdot \frac{\phi_s}{(h_m + Z_m + Z_{sm})} \right]^{1/3} - K(1-\lambda) \sum_{n=0}^{\infty} \frac{4}{(2n+1)\pi} \sin \left( \frac{(2n+1)\pi}{2} \frac{h_m}{L} \right) e^{-K \left( \frac{(2n+1)\pi}{2L} \right)^2 t} \quad \dots (13)$$

$$t > t_c: \frac{dZ_{sm}}{dt} = \frac{\tan \alpha}{Z_{sm}} \left[ \frac{1}{1-\lambda} \frac{gF}{\phi_s} / \frac{1}{\phi_r} \cdot \frac{\phi_s}{(h_m + Z_m + Z_{sm})} \right]^{1/3} - K(1-\lambda) \sum_{n=0}^{\infty} (-1)^n \frac{4}{(2n+1)\pi} e^{-K \left( \frac{(2n+1)\pi}{2L} \right)^2 t} \quad \dots (13)$$

図-4は図-2に示した実験条件と同じ条件での実験の最大局部洗掘深  $Z_{sm}$  の時間的变化の実測値と式(13)をRunge-Kutta法によって計算した曲線を示してあり、種々の仮定のもとからして両者は比較的よい一致を示している。(参考文献) 1) 黒田・鈴木・道上: 土木学会中国四国支部年譲(1979) 2) 道上: 章大学位論文(1971)